

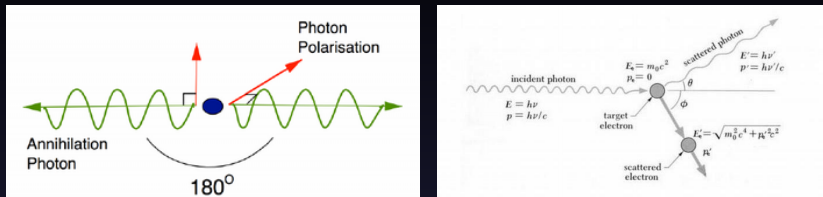
Opažanje polarizacije gama zračenja

Ana-Marija Kožuljević
Mentor: izv. prof. Mihael Makek

Fizički odsjek, PMF, Bijenička c.32, 10000 Zagreb

28. siječnja 2019.

Komptonsko raspršenje

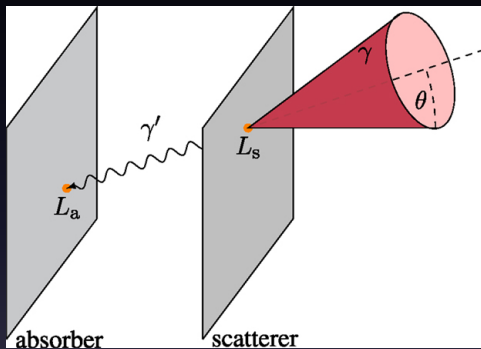


Slika: Komptonsko raspršenje i polarizacija fotona nakon anihilacije [2]

Klein-Nishina formula:

$$\frac{d\sigma}{d\Omega} = \frac{1}{2} r_0^2 \left(\frac{k'}{k_0} \right)^2 \left(\frac{k_0}{k'} + \frac{k'}{k_0} - 2 \sin^2 \theta \cos^2 \phi \right)$$

Komptonske kamere

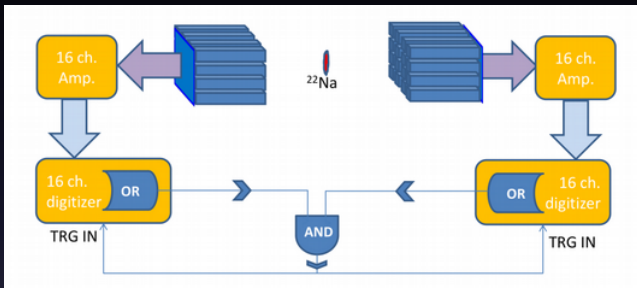


Slika: Komptonska kamera s dva sloja detektora. Preuzeto iz [3].

$$E_0 = E_1 + E_2$$

Eksperimentalni postav

- izvor ^{22}Na
- scintilacijski detektori - LSO anorganski kristali
- *Multipixel Photon Counter* (S13361-3050AE Hamamatsu)
- pasivni pojačivač (AiT instruments)
- digitalizator (CAEN V1743)



Slika: Eksperimentalni postav. Preuzeto iz [5].

Izvor zračenja

- Izotop ^{22}Na raspada se β -raspadom:



- Unutar materijala pozitron se anihilira s elektronom

→ nastaje par fotona energije 511 keV, okomitih polarizacija

Scintilacijski detektori

Efikasan scintilacijski detektor:

- ima visoku efikasnost konverzije energije pubuđenja u fluorescentno zračenje
- transparentan na vlastito fluorescentno zračenje
- emisija svjetla u suglasju sa spektralnim odgovorom fotomultiplikatora
- reemisijski puls ima kratko vrijeme raspada

Scintilacijski detektori

U ovom eksperimentu:

- LFS (*Lutetium Fine Silicate*) anorganski kristali
- Energijska rezolucija $\frac{\Delta E}{E}$ ovih kristala izmjerena na 511 keV iznosi 12%

| LFS karakteristike | |
|-------------------------------|------|
| gustoća [gcm^{-3}] | 7.35 |
| efektivni Z | 64 |
| duljina atenuacije [cm] | 1.15 |
| vrijeme deekscitacije [ns] | <33 |

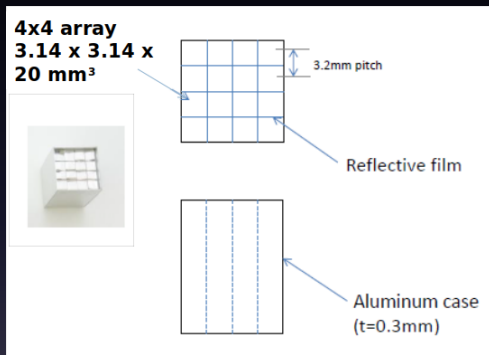
Tablica: Karakteristike LFS scintilacijskih kristala. Preuzeto iz [1].

Koincidencijska mjerena

- lutecij-176 je radioaktivno
 - β -raspadom emitira fotone energije $\sim 200 - 300$ keV
- u mjerenjima postoji pozadinski šum

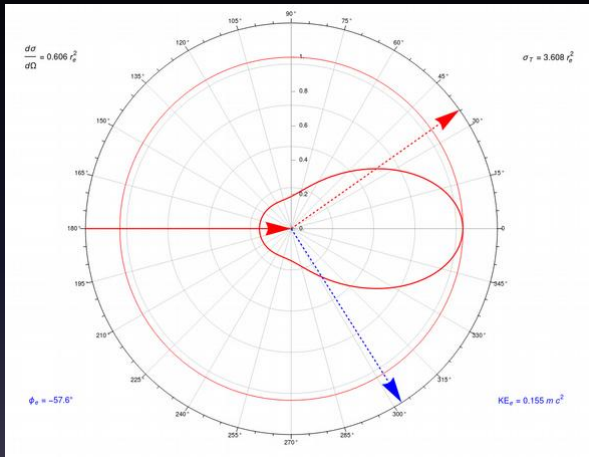
KOINCIDENCIJSKA MJERENJA → potisnuće ovog pozadinskog šuma mjerenjem samo signala koji okidaju oba detektora istovremeno

Scintilacijski detektori



Slika: Geometrija detektora korištenih u eksperimentu. Preuzeto iz [7].

Udarni presjek



Slika: Udarni presjek za energiju upadnog fotona od 511 keV
naznačen je punom crvenom crtom. Slika dobivena pomoću Wolfram
CDF Player-a

Geometrijska svojstva raspršenja na detektoru

Prepostavke:

- upadni foton se raspršuje na 1.5 mm dubine
- raspršeni foton se zaustavlja na 18.5 mm dubine
- pomoću Pitagorinog poučka izračunali smo kuteve koji će biti dostupni za svaku pojedinu kombinaciju piksela
- iz energijske rezolucije detektora izračunate granice dostupnih energija za tražena raspršenja

Geometrijska svojstva raspršenja na detektoru

| θ [rad] | E_e [keV] | E_2 [keV] |
|----------------|-------------|--------------|
| 0.175 | 8 ± 3 | 503 ± 26 |
| 0.242 | 14 ± 4 | 497 ± 26 |
| 0.339 | 28 ± 6 | 483 ± 25 |
| 0.375 | 33 ± 7 | 478 ± 25 |
| 0.463 | 49 ± 8 | 462 ± 25 |
| 0.487 | 14 ± 4 | 503 ± 26 |
| 0.51 | 58 ± 9 | 453 ± 25 |
| 0.565 | 69 ± 10 | 442 ± 24 |
| 0.642 | 85 ± 11 | 426 ± 24 |

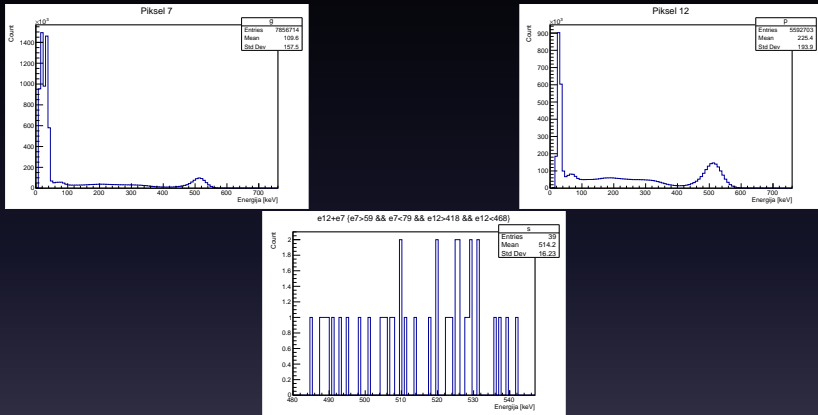
Tablica: Izračunate granične vrijednosti energija za kuteve dobivene iz geometrije detektora.

REZULTATI

Rezultati

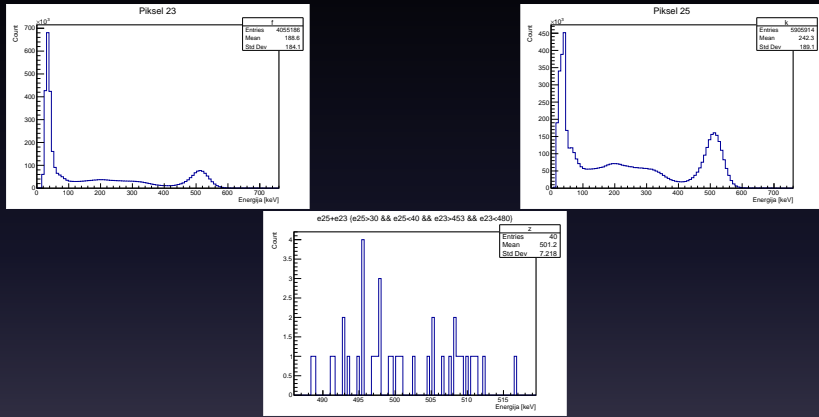
- analiza pomoću programskog paketa ROOT
- ukupni broj događaja: 12 275
- rekonstrukcija slike izvora pomoću programskih jezika C++ i Python - biblioteka *SymPy* i funkcije *plot_parametric*

Detektor 1



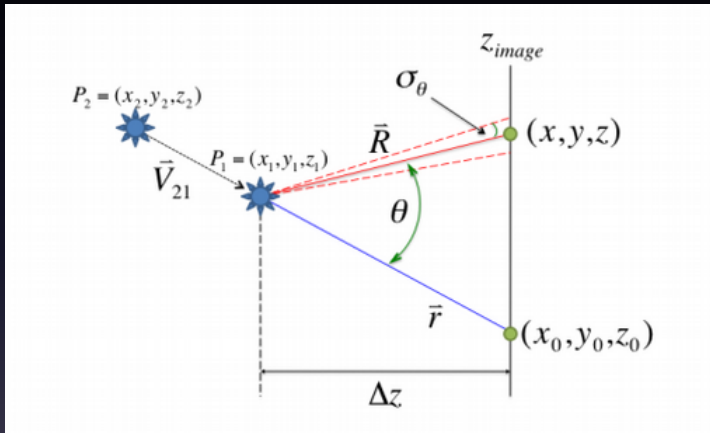
Slika: Energijski spektar dobiven rezanjem prema Tablici II. Ovo je rezultat za raspršenje pod kutem od 0.566 radijana. Broj događaja koji odgovaraju ovom rezu je 39.

Detektor 2



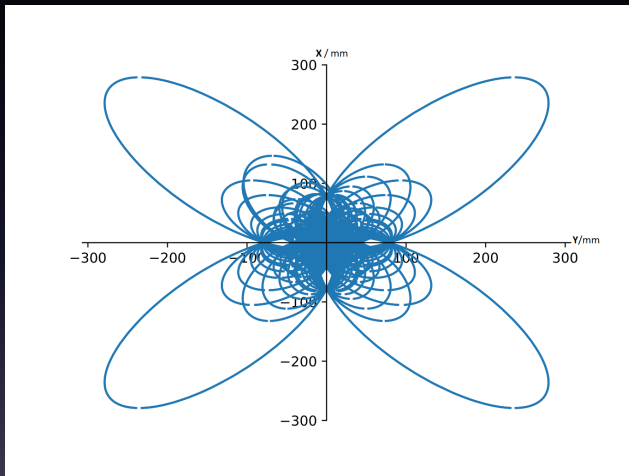
Slika: Energijski spektar dobiven rezanjem prema Tablici II. Ovo je rezultat za raspršenje pod kutem od 0.375 radijana. Broj događaja koji odgovaraju ovom rezu je 40.

Rekonstrukcija slike



Slika: Skica *back-projection* algoritma za rekonstrukciju događaja.
Preuzeto iz [4].

Rezultat rekonstrukcije slike



Slika: Presjek konusa svih događaja.

Zaključak

- pomoću ovog mjernog postava može se rekonstruirati slika izvora zračenja
- postoji potencijal da se zamijene detektori u dva sloja → jednostavniji i jeftiniji jednoslojni detektori
- široka primjenjivost - razvoj komptonskih kamera u jednom sloju za primjenu u medicinskom i industrijskom oslikavanju, detekciju zračenja iz okoliša...
- rekonstrukcija slike se može unaprijediti korištenjem iterativnih algoritama

Hvala na pažnji!

- LFS White Paper,
<http://www.zecotek.com/media/LFSWhitePaper.pdf>;
- <http://universe-review.ca/I15-72-Compton1.jpg>;
- https://www.frontiersin.org/files/Articles/170445/fonc-06-00080-HTML-r2/image_m/fonc-06-00080-g004.jpg
- Tornga, Shawn. "A prototype Compton imager : simulations, measurements and algorithm development." (2010). http://digitalrepository.unm.edu/ne_etds/48
- Performance of scintillation pixel detectors with MPPC read-out and digital signal processing, Makek et al., Acta Physica Polonica B, Vol. 48 (2017);

Hvala na pažnji!

-  Koincidencijska mjerena gama zraka scintilacijskim detektorima - priprema za vježbu iz praktikuma, http://www.phy.pmf.unizg.hr/makek/nukl_prakt/vjezbe/np_vjezba06.pdf;
-  Compact Compton detectors in coincidence setup, Makek et al., 3rd Symposium on Positron Emission Tomography, Krakow 2018
-  Pavla Šenjug, Demonstracijski uređaj za mjerene polarizacijskih korelacija u pozitronskoj anihilaciji, diplomska rad, PMF - Fizički odsjek, Zagreb, 2016.